

固体物理

# 固体物理知识点

Main points of solid state physics

冯 雪

[x-feng@tsinghua.edu.cn](mailto:x-feng@tsinghua.edu.cn)

罗姆楼2-101B

# 第一部分：固体的结构

## ● 晶体的结构

- 晶体是原子排列具有空间周期性的固体
- 基元 (basis)、晶格或点阵 (lattice)、晶胞 (cell)
- 惯用晶胞和原胞, 基矢, 布拉菲点阵
- 描述晶体方向性的标志: 晶向、晶面、密勒指数
- 面间距、堆积比、晶面密度 (每个晶面的独有的原子个数)

## ● 倒易点阵和布里渊区

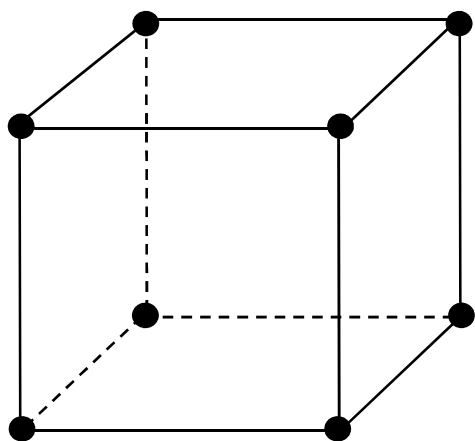
- X射线衍射、布拉格定律
- 倒格矢和倒格空间 (由原胞基矢定义)
- 布里渊区边界的物理意义

$$e^{i\vec{G}_h \cdot \vec{R}_n} = 1$$

- 无序固体的结构——了解, 期末不要求
- 晶体中的缺陷和扩散——了解, 期末不要求

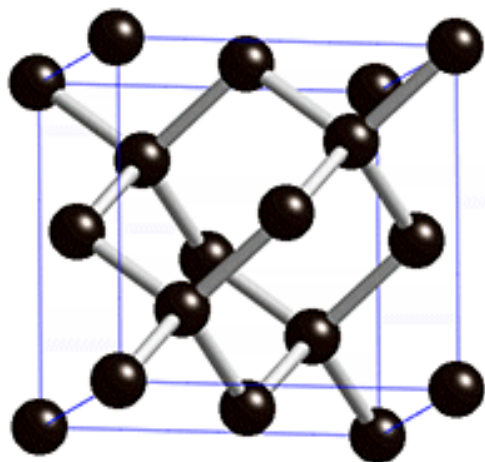
# 几种重要的晶格结构

- 简单立方

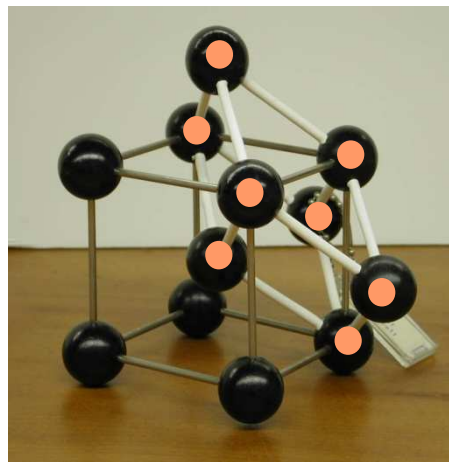


$$\left\{ \begin{array}{l} \alpha_1 = a\vec{i} \\ \alpha_2 = a\vec{j} \\ \alpha_3 = a\vec{k} \end{array} \right.$$

- 金刚石结构



- 体心立方

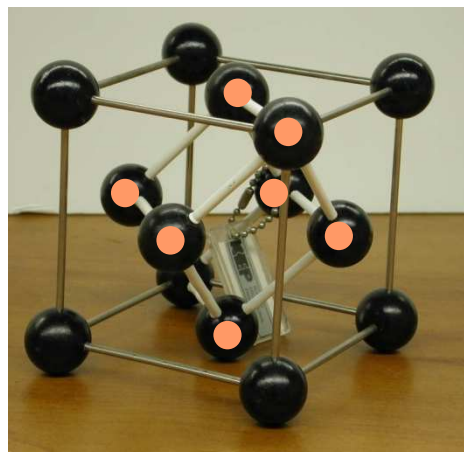


$$\alpha_1 = \frac{a}{2}(-\vec{i} + \vec{j} + \vec{k})$$

$$\alpha_2 = \frac{a}{2}(\vec{i} - \vec{j} + \vec{k})$$

$$\alpha_3 = \frac{a}{2}(\vec{i} + \vec{j} - \vec{k})$$

- 面心立方



$$\alpha_1 = \frac{a}{2}(\vec{j} + \vec{k})$$

$$\alpha_2 = \frac{a}{2}(\vec{k} + \vec{i})$$

$$\alpha_3 = \frac{a}{2}(\vec{i} + \vec{j})$$

## 第二部分：固体的结合

- 晶体的结合能与内能
  - $U(r)$ 、平衡间距
- 晶体结合的量子理论——了解，期末不要求
  - 分子轨道、原子轨道线性组合法
  - 电离度
- 离子晶体
  - 马德隆常数
- 共价晶体
  - 轨道杂化
- 金属结合
- 范德瓦尔斯结合
- 原子负电性——电离能与亲和能

# 第三部分：固体能带理论

- 布洛赫定理  $\psi(x + R_n) = e^{ik \cdot R_n} \psi(x)$

- 一维近自由电子近似

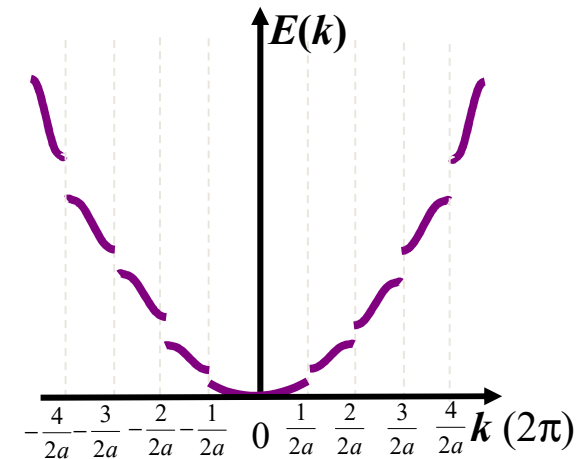
- 能带、带隙的形成
- 三种布里渊区图景

- 布洛赫电子的准经典运动

- 波包描述
- 电子速度、加速度、有效质量、准动量

- 导体、绝缘体和半导体的能带解释

- 满带不导电
- 电子与空穴



# 第四部分：经典金属电子论

- 德鲁德模型
  - 独立自由电子近似——总能量=动能
  - 电子类似理想气体分子，遵循玻尔兹曼统计规律
  - 单位时间内电子发生碰撞的几率是 $1/\tau$ ， $\tau$ 为弛豫时间

$$\frac{dp}{dt} = -eE - \frac{p}{\tau}$$

电子运动方程

$$J = \left(\frac{ne^2\tau}{m}\right)E$$

电流密度方程

- 索末菲模型
  - 自由电子费米气体 (free electron Fermi gas)

$$f(E) = \frac{1}{e^{(E-E_F)/k_B T} + 1}$$

- 基于能带理论的晶体电子输运过程

$$\sigma_0 = \frac{ne^2\tau(E_F)}{m^*}$$

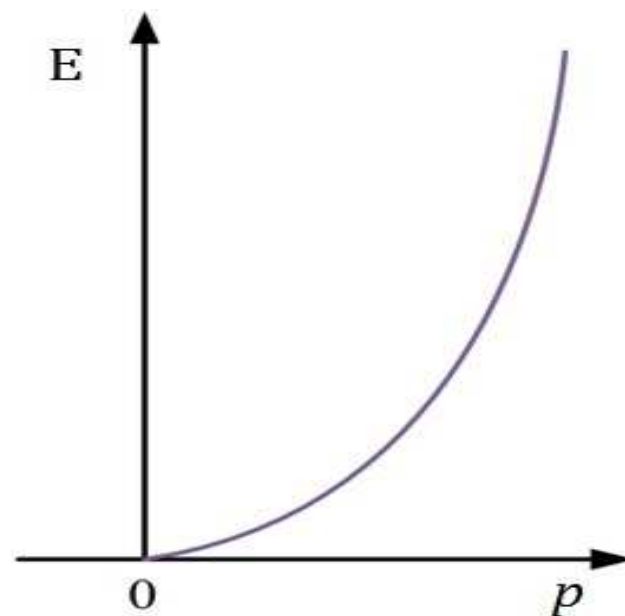
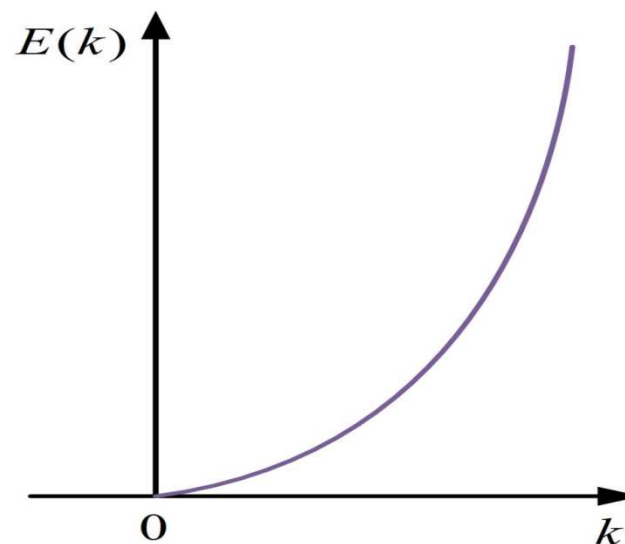
# 自由电子的运动模型

量子力学:  $E(k) = \frac{\hbar^2 k^2}{2m}$

电子质量:  $\frac{1}{m} = \frac{1}{\hbar^2} \frac{d^2 E}{dk^2}$

经典力学:  $E(p) = \frac{p^2}{2m}$

电子质量:  $\frac{1}{m} = \frac{d^2 E}{dp^2}$



# 重要的概念

- 费米统计分布

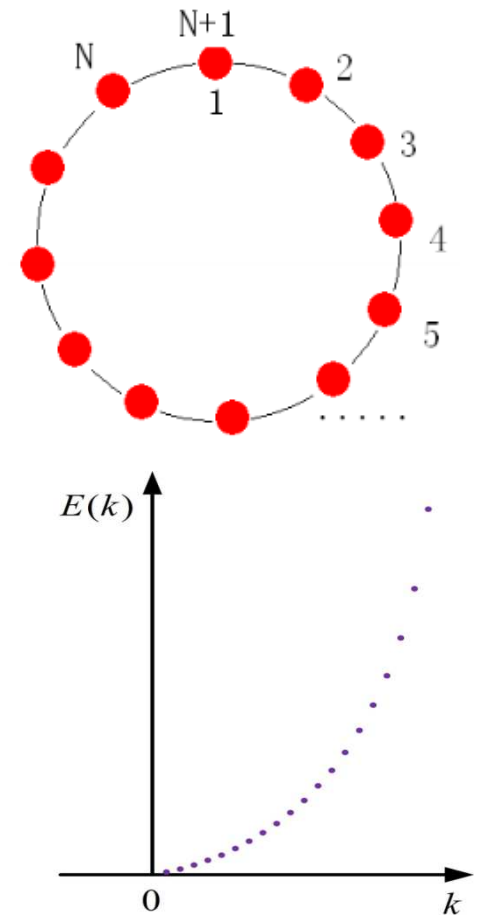
- 费米能级 $E_F$ 由系统中电子总数 $N$ 决定
- 费米能级 $E_F$ 并不是单个电子的能量本征值

- 周期性边界条件（波恩-卡门条件）

- 物理实质——忽略边界的影响

- 状态密度

- $k$  标度下的能态分布密度 $g_k$
- 能量标度下的态密度 $g(E)$
- 费米球、费米动量（费米球半径）、费米温度
- 索末菲展开——不要求





# 第五部分：固体的电特性

- 自由电子的输运问题——金属的导电性

- 非(热)平衡状态下的分布函数

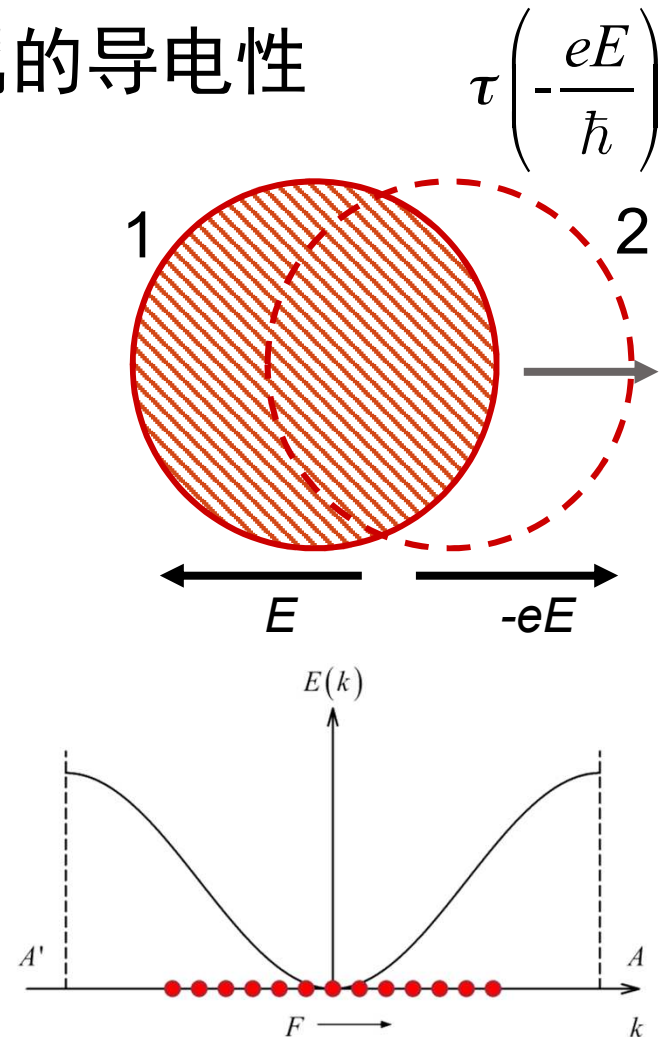
- 半满带中的准经典运动

- 波尔兹曼方程——漂移和碰撞

$$\frac{df}{dt} = \left( \frac{\partial f}{\partial t} \right)_{\text{漂移}} + \left( \frac{\partial f}{\partial t} \right)_{\text{碰撞}} = 0$$

- 考虑能带以后金属的导电率

$$\sigma_0 = \frac{ne^2 \tau(E_F)}{m^*}$$



# 第五部分：固体的电特性

## • 半导体中输运过程

### 1. 半导体中的载流子浓度和费米能级

- 能态密度抛物线近似

$$g(E) = \frac{V}{2\pi^2} \left( \frac{2m}{\hbar^2} \right)^{3/2} E^{1/2}$$

- 导带底和价带顶附近的能态密度

$$N_-(E) = \frac{4\pi(2m_-^*)^{3/2}}{h^3} \sqrt{(E - E_-)} \quad N_+(E) = \frac{4\pi(2m_+^*)^{3/2}}{h^3} \sqrt{(E_+ - E)}$$

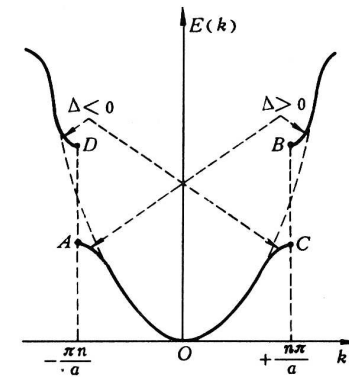
- 载流子浓度与有效能级密度——玻尔兹曼近似

$$p = N_+ e^{-(E_F - E_+)/k_B T}$$

$$n = N_- e^{-(E_- - E_F)/k_B T}$$

$$N_+ = \frac{2(2\pi m_+^* k_B T)^{3/2}}{h^3}$$

$$N_- = \frac{2(2\pi m_-^* k_B T)^{3/2}}{h^3}$$



$$E_{\pm} = \begin{cases} \bar{V} + T_n + |V_n| + \Delta^2 T_n \left( \frac{2T_n}{|V_n|} + 1 \right) \\ \bar{V} + T_n - |V_n| - \Delta^2 T_n \left( \frac{2T_n}{|V_n|} - 1 \right) \end{cases}$$

# 第五部分：固体的电特性

## • 半导体中输运过程

### 2. 本征激发

- 本征载流子浓度
- 本征费米能级

$$n_i = n = p = (N_- N_+)^{1/2} e^{-E_g/2k_B T}$$

$$E_{Fi} = \frac{1}{2}(E_- + E_+) + \frac{3}{4}k_B T \ln(m_+^* / m_-^*)$$

### 3. 杂质激发 费米能级

$$E_F = E_{Fi} + k_B T \ln(n / n_i)$$

N型半导体:

载流子浓度:

$$n \approx \begin{cases} (N_- N_D)^{1/2} e^{-E_i/2k_B T}, & \text{low } T \\ N_D, & \text{high } T \end{cases}, \quad p = n_i^2 / n$$

费米能级

$$E_F = E_{Fi} - k_B T \ln(p / n_i)$$

P型半导体:

载流子浓度:

$$p \approx \begin{cases} (N_A N_+)^{1/2} e^{-E_i/2k_B T}, & \text{low } T \\ N_A, & \text{high } T \end{cases}, \quad n = n_i^2 / p$$

补偿半导体:

$$N\text{型: } n_0 = \frac{(N_d - N_a)}{2} + \sqrt{\left(\frac{(N_d - N_a)}{2}\right)^2 + n_i^2}$$

总的杂质浓度:  $N_{doping} = N_A + N_D$

# 第五部分：固体的电特性

## ● 半导体中输运过程

### 4. 载流子的迁移

$$\sigma = \frac{nq^2\tau}{m^*} = nq \frac{q\tau}{m^*} = nq\mu \quad \sigma = nq\mu_- + pq\mu_+$$

- 载流子的迁移率
- 影响电导率和迁移率的因素，金属与半导体电导率的对比

### 5. 载流子的漂移和扩散

- 非平衡载流子（产生原因）  $n = n_0 + \delta n$ ,  $p = p_0 + \delta p$ ,  $np > n_i^2$

- 准费米能级  $n_0 + \Delta n = n_i \exp(\frac{E_{Fn} - E_{Fi}}{kT})$ ,  $p_0 + \Delta p = n_i \exp(\frac{E_{Fi} - E_{Fp}}{kT})$

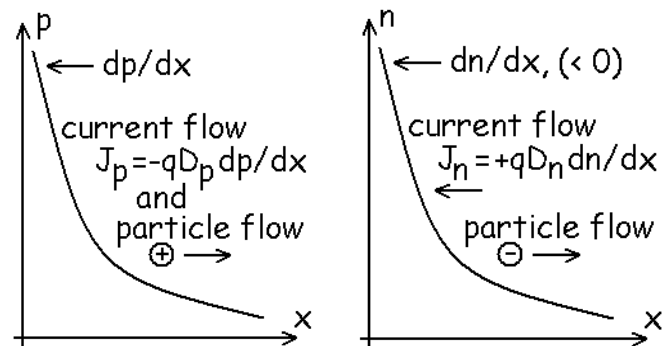
- 复合过程  $\Delta n = (\Delta n)_0 \exp(-t/\tau)$

- 载流子的扩散运动

- 载流子扩散和复合

$$\frac{d}{dx} \left( D \frac{dN}{dx} \right) - \frac{N}{\tau} = 0$$

$$\text{扩散流密度} = -D \frac{dN}{dx} = N_0 \frac{D}{L} e^{-x/L}$$



# 第五部分：固体的电特性

## ● 固体接触的输运过程

### 1. 功函数与接触电势

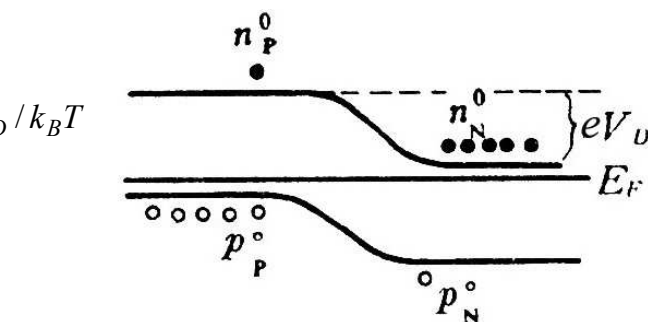
- 经典理论和量子理论对功函数的解释
- 接触电势： $V_A - V_B = (W_B - W_A)/q$

$$W = \chi \quad W = \chi - E_F$$

### 2. PN结

- PN结形成的物理过程和能带图

$$\frac{n_P^0}{n_N^0} = e^{-qV_D/k_B T}$$



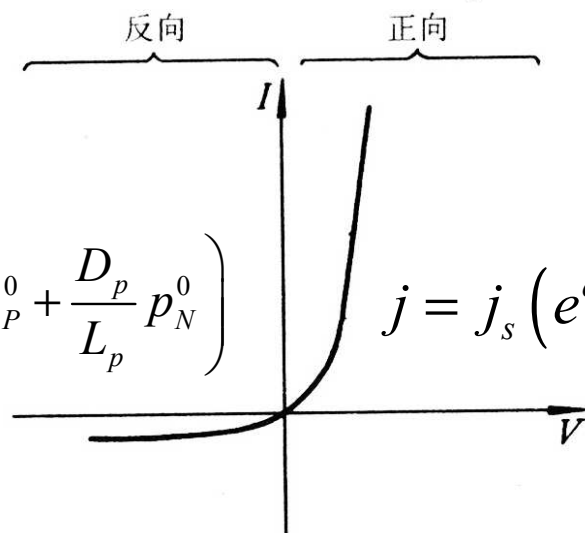
- 画能带图的三个要点

- (1) 接触电势差确定
- (2) 空间电荷区比例确定；
- (3) 分别用抛物线型画出电位变化线

- 外场作用下PN的导电特性

$$j \approx -q \left( \frac{D_n}{L_n} n_P^0 + \frac{D_p}{L_p} p_N^0 \right)$$

$$j = j_s (e^{qV/K_B T} - 1)$$



# 第五部分：固体的电特性

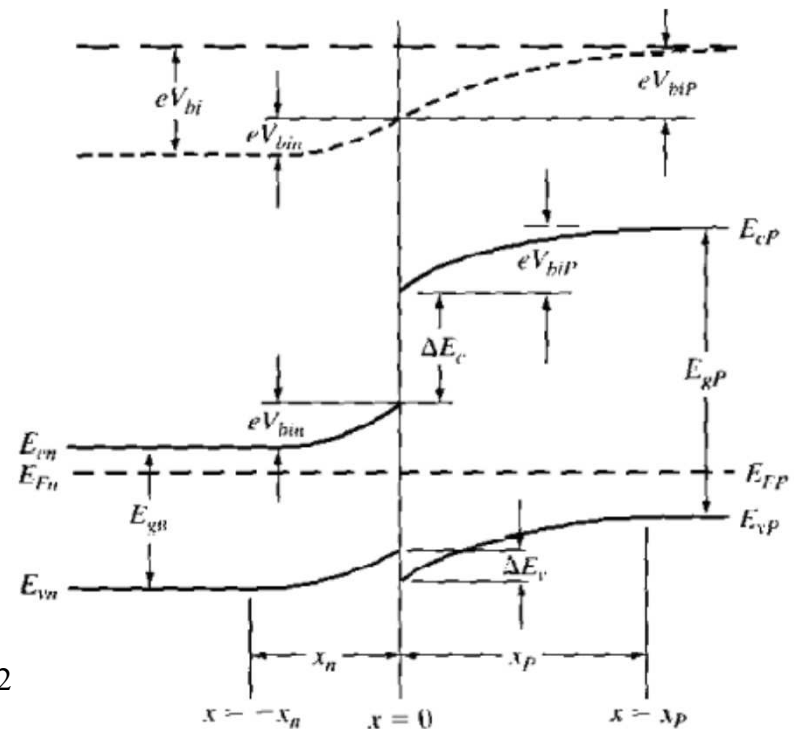
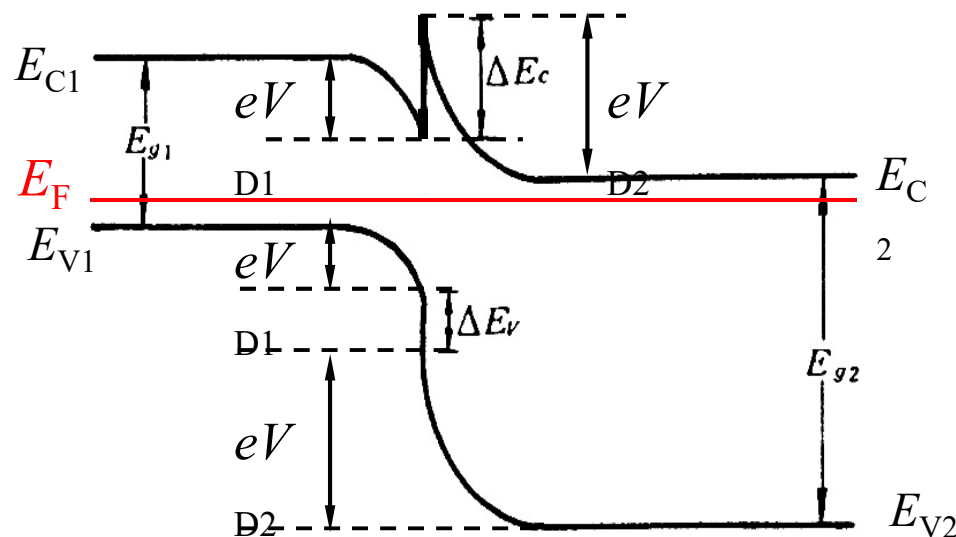
## • 固体接触的输运过程

### 3. 异质结

- 能带图
- 注入比

- 导带能级差:  $\Delta E_C = \chi_1 - \chi_2$
- 价带能级差:  $\Delta E_V = E_{g2} - E_{g1} - \Delta E_C$
- 导带能级差+价带能级差=带隙宽度差

$$\frac{J_n}{J_p} = \frac{D_n n_p^0}{L_n} \bigg/ \frac{D_p p_n^0}{L_p} = \frac{D_n L_p N_D}{D_p L_n N_A} e^{\frac{E_{gN} - E_{gP}}{k_B T}}$$

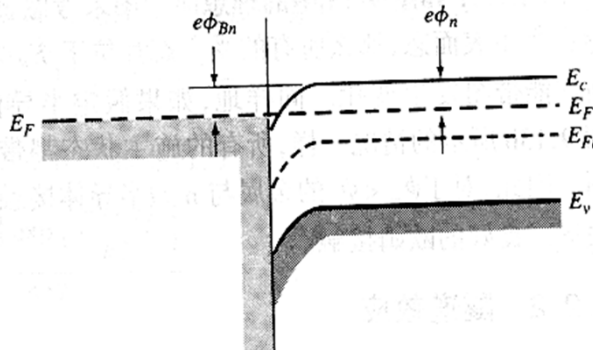


# 第五部分：固体的电特性

## ● 固体接触的输运过程

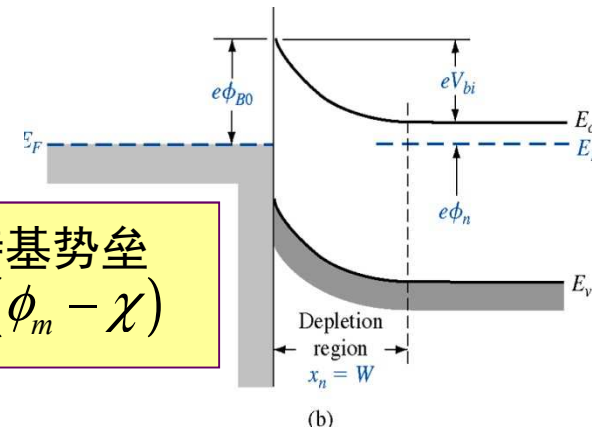
### 4. 肖特基结和欧姆接触

- 肖特基结：金属-(p)-n型半导体  $\phi_m > \phi_s$
- 欧姆接触：  
金属-n型半导体  $\phi_m < \phi_s$

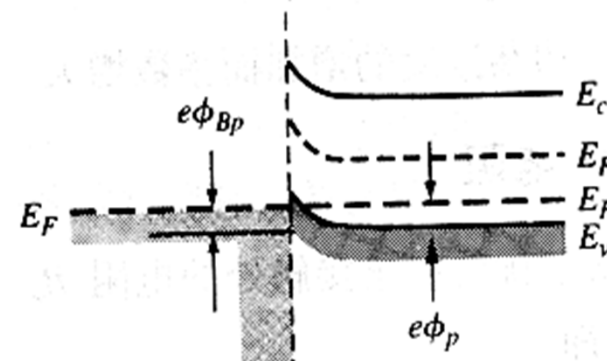


肖特基势垒  

$$\phi_{B0} = (\phi_m - \chi)$$

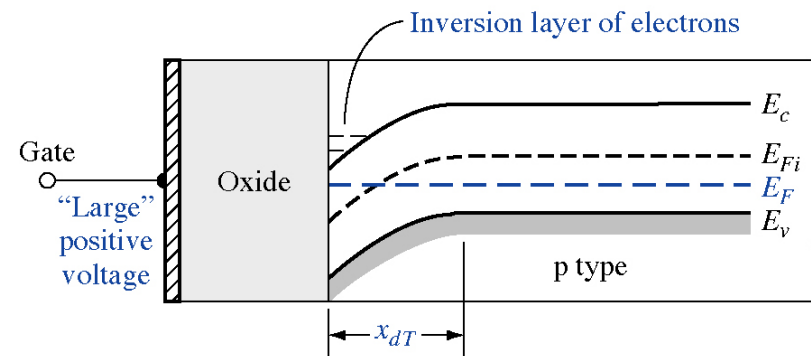


金属-p型半导体  $\phi_m > \phi_s$



### 5. MIS和MOS——不要求

- 反型层的形成——沟道
- 二维电子气
- 对比调制掺杂形成量子阱
- 场效应管和CMOS

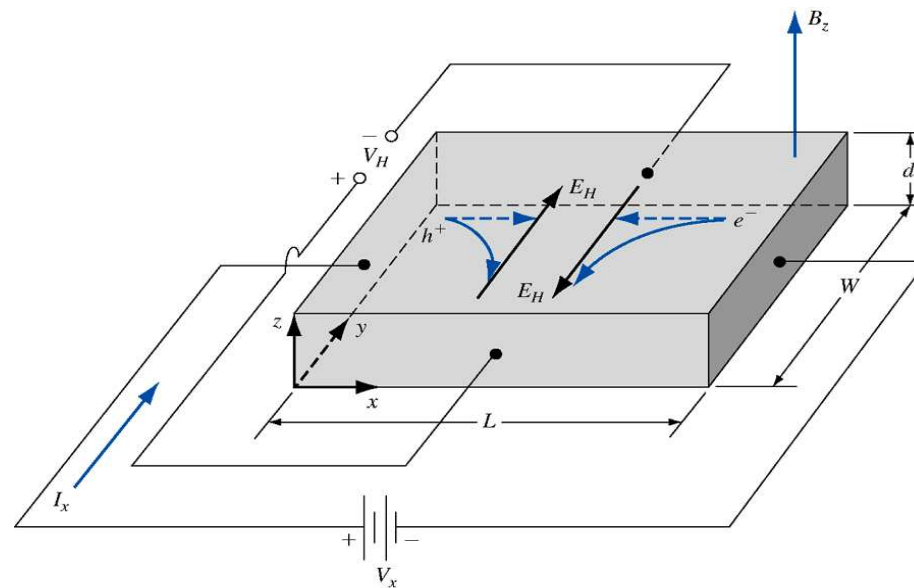


# 第五部分：固体的电特性

- 霍尔效应

霍尔系数：

$$R = \frac{1}{pq} = -\frac{1}{nq}$$



霍尔电压  $V_H = E_H * W$ ,  $W$ : 样品宽度



# 第六部分：固体的磁特性和超导

- 固体的磁特性——不要求
  - 原子的磁矩——电子轨道磁矩，电子自旋磁矩，感生磁矩
  - 拉莫进动
  - 磁化率，磁性的类别——抗磁性，顺磁性，铁磁性，反铁磁性，亚铁磁性
- 超导体——不要求

# 第七部分：固体的热特性和声子

- 绝热近似——核的运动与电子的运动可以分离

- 一维原子链的振动

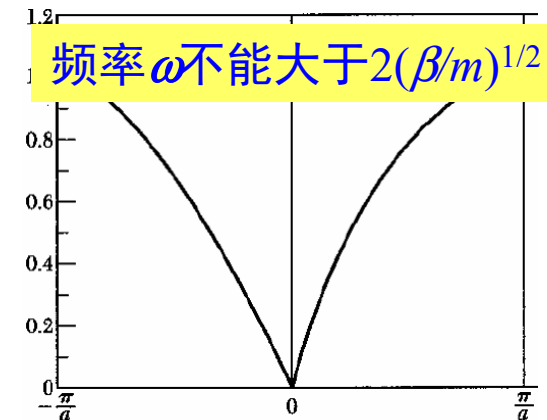
$$m\ddot{\mu}_n = \beta(\mu_{n+1} + \mu_{n-1} - 2\mu_n)$$

- 简谐近似
- 格波波矢的取值仅在第一布里渊区——对比布洛赫波
- 色散关系

$$\omega = 2\sqrt{\frac{\beta}{m}} \left| \sin\left(\frac{aq}{2}\right) \right|$$

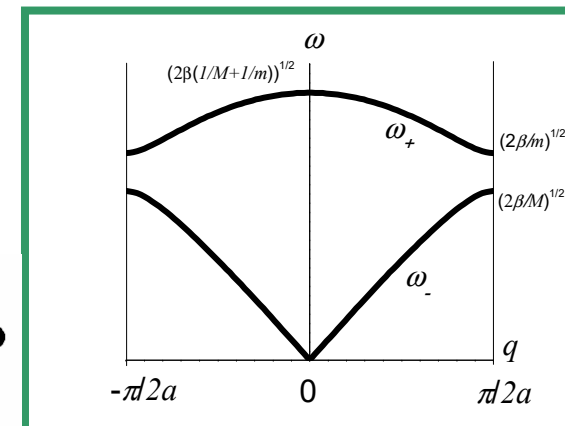
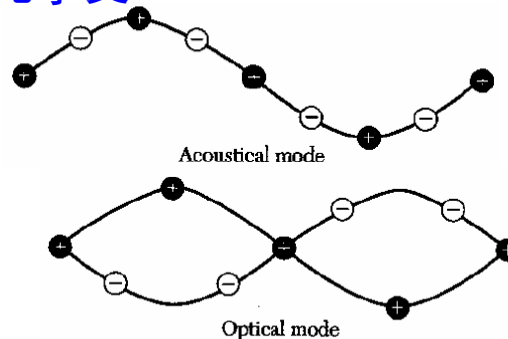
$\lambda \gg a$  时(长波极限),  $q \rightarrow 0$ :

$$\omega \approx 2\sqrt{\frac{\beta}{m}} \left| \frac{1}{2} aq \right| = a\sqrt{\frac{\beta}{m}} q$$



- 一维双原子链的振动

- 色散关系——声学支和光学支
- 长波极限
- 带隙的形成
- 三维晶格中的格波



# 第七部分：固体的热特性和声子

- 离子晶体中的长光学波——**不要求**

- 极化激元
- 表面等离子基元

- 声子与热特性

- 声子——晶格振动的能量子
- 平均声子数——波色-爱因斯坦分布
- 单个声子模式的热容

$$C_V \left\langle \begin{array}{l} \approx k_B \\ \approx k_B \left( \frac{\hbar \omega_q}{k_B T} \right)^2 e^{-\hbar \omega_q / k_B T} \end{array} \right.$$

- 爱因斯坦模型和德拜模型——**了解，不要求**

$$C_V \approx 3Nk_B \left( \frac{\theta_E}{T} \right)^2 e^{-\frac{\theta_E}{T}} \quad C_V = \frac{12\pi^4}{5} Nk_B \left( \frac{T}{\Theta_D} \right)^3$$

- 声子气的热传导
- 声子的碰撞
- 晶格的热膨胀

